

AB-271: Lista discretização espacial

Reynaldo Lima

Sumário

Exercício 1	1
Exercício 2	4
2.1 Autovalores de JQ	6
2.2 Simulações, condições iniciais nulas, fronteira com entrada senoidal;	7
2.3 Damping injection	10
Exercício 3	12

Exercício 1

Temos a equação:

$$\begin{aligned}u_t(x, t) &= u_{xx}(x, t), \\u(0, t) &= u(L, t) = 0, \\u(x, 0) &= u_0(x).\end{aligned}$$

Seja, pois, $u(x, t) = \phi(x)^T y(t)$, e um vetor auxiliar qualquer dado por $v^T \phi(x)$.

Obtemos, na equação original:

$$v^T \left[\int_0^L \phi \phi^T dx \right] \dot{y} = v^T \left[\int_0^L \phi \phi_{xx}^T dx \right] y.$$

Fazendo $M = \left[\int_0^L \phi \phi^T dx \right]$, $D = \left[\int_0^L \phi \phi_{xx}^T dx \right]$, temos:

$$\dot{y} = M^{-1} D y.$$

$$\dot{u} = \phi(x)^T \dot{y}.$$

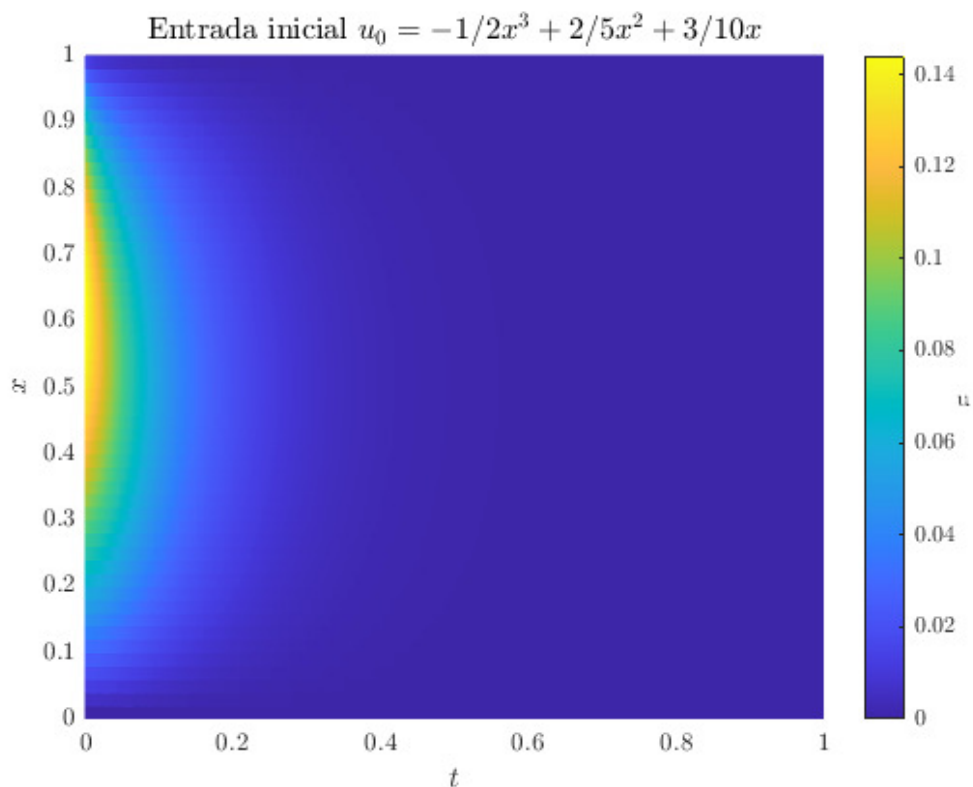
Temos agora uma EDO no tempo, o que nos permite fazer uma simulação com esta expressão.

```
% Escolhendo as çõfunes phi
% Das çõcondies de contorno, vale escolhermos:
clear;
syms x;
L = 1; % comprimento, normalizado para 1 apenas para a sim.
n = 5;
v = [];
for i = 1:n
    v = [v; x^i];
end
phi = v*(L-x);
dphi = diff(phi,x);
ddphi = diff(dphi,x);
M = double(int(phi*transpose(phi),0,L));
D = double(int(phi*transpose(ddphi),0,L));
```

```

A = M\D;
syms t u;
y = sym('y', [n;1]);
eq = [A zeros(n,1); transpose(phi)*A 0]*[y;u];
di = matlabFunction(eq, 'Vars', {t, [y; u], x});
u_0 = @(x) 0.5*x^2*(L-x) + 0.3*x*(L-x);
%çã funo inicial conhecida, para çforar o y(0)
for i = 1:51
x0 = (i-1)/50;
u0 = u_0(x0);
[T,Y(i, :, :)] = ode45(@(t,X) di(t,X,x0), [0, 1], [0.3;0.5;zeros(n-2,1);u0]);
end
figure(1);
surf(T,0:1/50:1,Y(:, :, n+1), 'EdgeColor', "flat")
h = colorbar;
ylabel(h, 'u', 'Interpreter', "latex", 'Rotation', pi/2);
view(2);
xlabel('$t$', 'Interpreter', "latex")
zlabel('$u$', 'Interpreter', "latex")
ylabel('$x$', 'Interpreter', "latex")
set(gca, 'TickLabelInterpreter', 'latex');
set(h, 'TickLabelInterpreter', 'latex');
title('Entrada inicial $u_0 = -1/2 x^3 + 2/5 x^2 + 3/10 x$', 'FontSize', 12, ...
'Interpreter', "latex")

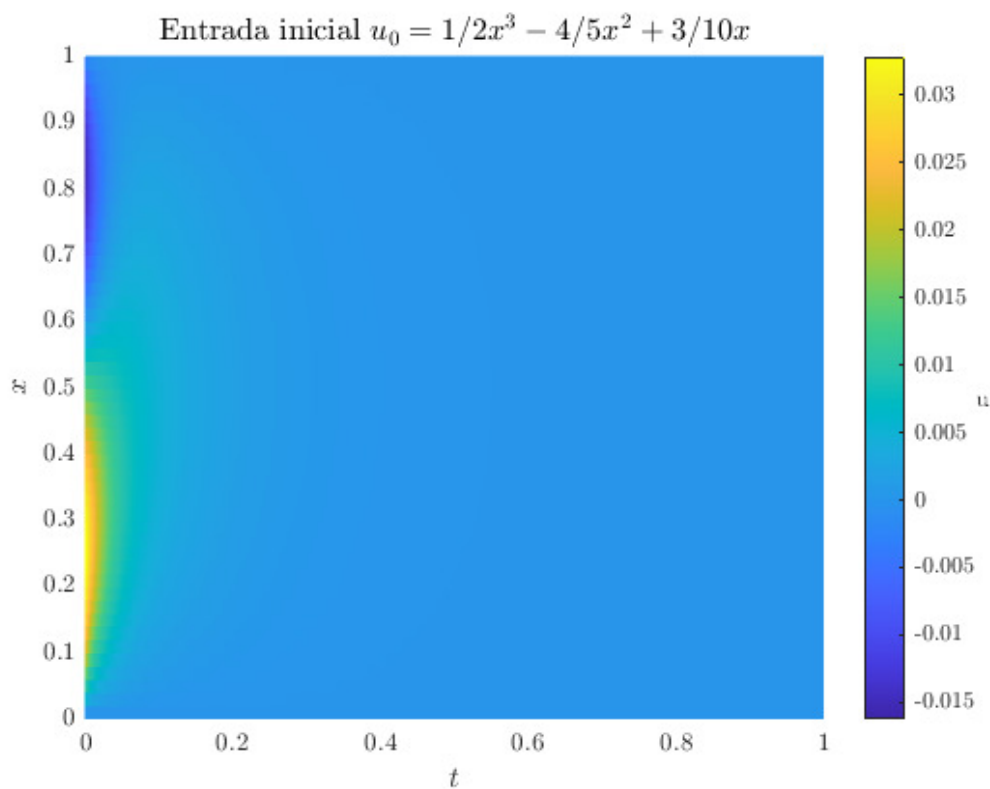
```



```

u_0 = @(x) -0.5*x^2*(L-x) + 0.3*x*(L-x);
%çã funo inicial conhecida, para çforar o y(0)
for i = 1:51
x0 = (i-1)/50;
u0 = u_0(x0);
[T,Z(i,:, :)] = ode45(@(t,X) di(t,X,x0), [0,1], [0.3; -0.5; zeros(n-2,1); u0]);
end
figure(2);
surf(T,0:1/50:1,Z(:, :, n+1), 'EdgeColor', 'flat')
h = colorbar;
ylabel(h, 'u', 'Interpreter', 'latex', 'Rotation', pi/2);
view(2);
xlabel('$t$', 'Interpreter', 'latex')
zlabel('$u$', 'Interpreter', 'latex')
ylabel('$x$', 'Interpreter', 'latex')
set(gca, 'TickLabelInterpreter', 'latex');
set(h, 'TickLabelInterpreter', 'latex');
title('Entrada inicial $u_0 = 1/2 x^3 - 4/5 x^2 + 3/10 x$', 'FontSize', 12, ...
'Interpreter', 'latex')

```



Exercício 2

Temos:

$$\begin{bmatrix} \dot{\alpha}_1(x,t) \\ \dot{\alpha}_2(x,t) \end{bmatrix} = \begin{bmatrix} 0 & c_2 \partial_x \\ c_2 \partial_x & 0 \end{bmatrix} \begin{bmatrix} \alpha_1(x,t) \\ \alpha_2(x,t) \end{bmatrix} = \begin{bmatrix} 0 & \partial_x \\ \partial_x & 0 \end{bmatrix} \begin{bmatrix} e_1(x,t) \\ e_2(x,t) \end{bmatrix},$$

com Hamiltoniano do sistema:

$$H = \int_0^L (c_1 \alpha_1^2 + c_2 \alpha_2^2) dx.$$

Utilizando o método de Galerkin para aproximar os resultados do sistema, obedecendo as condições básicas do sistema.

Usando a formulação fraca:

$$\begin{aligned} \int_0^L v_1(x) \dot{\alpha}_1(x,t) dx &= \int_0^L v_1(x) \partial_x e_2 dx = - \int_0^L (\partial_x v_1) e_2 dx + [v_1(x) e_2(x,t)]_0^L, \\ \int_0^L v_2(x) \dot{\alpha}_2(x,t) dx &= \int_0^L v_2(x) \partial_x e_1 dx \end{aligned}$$

Sejam as aproximações:

$$\begin{aligned} \alpha_1(x,t) &\approx a_1^T(t) \phi_1(x), \quad \alpha_2(x,t) \approx a_2^T(t) \phi_2(x), \\ v_1(x,t) &\approx \bar{v}_1(t) \phi_1(x), \quad v_2(x,t) \approx \bar{v}_2(t) \phi_2(x), \\ e_1(x,t) &\approx \epsilon_1^T(t) \phi_1(x), \quad e_2(x,t) \approx \epsilon_2^T(t) \phi_2(x). \end{aligned}$$

Temos:

$$\begin{aligned} \bar{v}_1^T \left[\int_0^L \phi_1(x) \phi_1^T(x) dx \right] \dot{a}_1(t) &= -\bar{v}_1^T \left[\int_0^L \phi_{1,x}(x) \phi_2^T(x) dx \right] c_2 a_2(t) + \frac{\bar{v}_1^T \phi_1(x) e_2(x,t)|_0^L}{[\phi_1(L) \quad -\phi_1(0)][e_2(L,t) \quad e_2(0,t)]^T}, \\ \bar{v}_2 \left[\int_0^L \phi_2(x) \phi_2^T(x) dx \right] \dot{a}_2(t) &= \bar{v}_2 \left[\int_0^L \phi_2(x) \phi_{1,x}^T(x) dx \right] c_1 a_1(t). \end{aligned}$$

Como as expressões são válidas para vetores v_i quaisquer, $i = 1, 2$, escolhendo como saída $y_\partial = [e_1(L,t) \quad -e_1(0,t)]^T$, vale as expressões a seguir, em que omitem-se as dimensões das matrizes de zeros satisfatórias para as dimensões do problema:

$$\begin{aligned} x(t) &:= \begin{bmatrix} M_1 a_1(t) \\ M_2 a_2(t) \end{bmatrix}, \\ \dot{x}(t) &= \begin{bmatrix} 0 & -D \\ D^T & 0 \end{bmatrix} \begin{bmatrix} c_1 M_1^{-1} & 0 \\ 0 & c_2 M_2^{-1} \end{bmatrix} x(t) + \begin{bmatrix} \phi_1(L) & -\phi_1(0) \\ 0 & 0 \end{bmatrix} u_\partial, \\ y_\partial(t) &= \begin{bmatrix} \phi_1(L) & -\phi_1(0) \\ 0 & 0 \end{bmatrix}^T \begin{bmatrix} c_1 M_1^{-1} & 0 \\ 0 & c_2 M_2^{-1} \end{bmatrix} x(t). \end{aligned}$$

Com essa representação do sistema, temos, para o Hamiltoniano discretizado:

$$H_d := H \left[\alpha_1(x, t) = a_1^T(t) \phi_1(x), \alpha_2(x, t) = a_2^T(t) \phi_2(x) \right] \stackrel{\vec{\partial}^2 = \|\vec{\partial}\|^2}{=} \frac{1}{2} \int_0^L \left(c_1 a_1^T(t) \phi_1(x) \phi_1(x)^T a_1(t) + c_2 a_2^T(t) \phi_2(x) \phi_2(x)^T a_2(t) \right) dx =$$

$$\frac{1}{2} \left(c_1 a_1^T(t) M_1 a_1(t) + c_2 a_2^T(t) M_2 a_2(t) \right) = \frac{1}{2} \begin{bmatrix} M_1^T a_1(t) \\ M_2^T a_2(t) \end{bmatrix}^T Q x(t) \stackrel{M_1^T = M_1}{=} \frac{1}{2} x^T Q x.$$

E sua derivada temporal:

$$2 \dot{H}_d = \frac{d}{dt} (x^T Q) x + x^T Q \frac{d}{dt} (x) = \dot{x}^T Q x + x^T Q \dot{x} = \dot{x}^T (Q + Q^T) x \stackrel{Q = Q^T}{=} 2 \dot{x}^T Q x,$$

daí:

$$\dot{H}_d = (x^T Q^T J^T Q x + u_\partial^T B^T Q x) = x^T \begin{bmatrix} c_1 M_1^{-1} & 0 \\ 0 & c_2 M_2^{-1} \end{bmatrix} \begin{bmatrix} 0 & D \\ -D^T & 0 \end{bmatrix} \begin{bmatrix} c_1 M_1^{-1} & 0 \\ 0 & c_2 M_2^{-1} \end{bmatrix} x + u_\partial^T y_\partial \stackrel{M_i^T = M_i, i=1,2}{=} \\ = \begin{bmatrix} (M_1 a_1)^T & (M_2 a_2)^T \end{bmatrix} \begin{bmatrix} 0 & c_1 c_2 M_1^{-1} D M_2^{-1} \\ -c_1 c_2 M_2^{-1} D^T M_1^{-1} & 0 \end{bmatrix} \begin{bmatrix} M_1 a_1 \\ M_2 a_2 \end{bmatrix} + u_\partial^T y_\partial = \\ = c_1 c_2 (a_1^T D a_2 - a_2^T D^T a_1) + u_\partial^T y_\partial = c_1 c_2 \left(\int_0^L a_1^T \phi_{1,x} \phi_2^T a_2 - a_2^T \phi_2 \phi_{1,x}^T a_1 \, dx \right) + u_\partial^T y_\partial \stackrel{a = \text{escalar} \rightarrow a = v^T v = v \, v^T}{=} \\ = u_\partial^T y_\partial.$$

Vamos agora ilustrar o problema da onda com esta formulação.

Para a simulação, sejam:

```
% c1 = c2 = c
c = 1;
% phi1 = phi2
L = 1;
xref = 0:L/3:L;
% yref = ;
phi = [];
syms x
for i = 1:length(xref)
    p = 1;
    for j = 1:length(xref)
        if j ~= i
            aux = (x - xref(j)) / (xref(i) - xref(j));
            p = p * aux;
        end
    end
    phi = [phi; p];
end
dphi = diff(phi, x);
M = double(int(phi * transpose(phi), 0, L));
D = double(int(dphi * transpose(phi), 0, L));
J = [zeros(length(D)) -D; D' zeros(length(D))];
Q = blkdiag(c * inv(M), c * inv(M));
```

2.1 Autovalores de JQ

Como estamos trabalhando com a equação da onda unidimensional, espera-se que os autovalores sejam imaginários puros (garantindo as oscilações do movimento). De fato, observa-se:

```
autovalores = eig(J*Q)
```

```
autovalores = 8x1 complex
-0.0000 + 13.0432i
-0.0000 - 13.0432i
 0.0000 +  7.7460i
 0.0000 -  7.7460i
-0.0000 +  3.1425i
-0.0000 -  3.1425i
-0.0000 +  0.0000i
 0.0000 +  0.0000i
```

Observa-se ainda que estes autovalores são aproximadamente múltiplos de π .

Como as constantes são tomadas unitárias, espera-se:

$$\omega_n = \frac{2\pi}{2L} n \sqrt{\frac{T}{\mu}} = n\pi.$$

O primeiro teste, com 4 dimensões para a aproximação, se distancia de $n\pi$ já para $n = 2$. Por outro lado, observe o exemplo com 8 dimensões, que já tem até $n = 5$ próximo ao previsto pela relação anterior.

```
% c1 = c2 = c
c = 1;
% phi1 = phi2
L = 1;
xref = 0:L/8:L;
% yref = ;
phi = [];
syms x
for i = 1:length(xref)
    p = 1;
    for j = 1:length(xref)
        if j ~= i
            aux = (x - xref(j)) / (xref(i) - xref(j));
            p = p * aux;
        end
    end
    phi = [phi; p];
end
dphi = diff(phi, x);
M = double(int(phi * transpose(phi), 0, L));
D = double(int(dphi * transpose(phi), 0, L));
J = [zeros(length(D)) -D; D' zeros(length(D))];
Q = blkdiag(c * inv(M), c * inv(M));
autovalores = eig(J * Q)
```

```

autovalores = 18x1 complex
-0.0000 + 57.7879i
-0.0000 - 57.7879i
 0.0000 + 46.3195i
 0.0000 - 46.3195i
-0.0000 + 20.5626i
-0.0000 - 20.5626i
-0.0000 + 16.6063i
-0.0000 - 16.6063i
 0.0000 + 12.5800i
 0.0000 - 12.5800i

```

2.2 Simulações, condições iniciais nulas, fronteira com entrada senoidal;

```

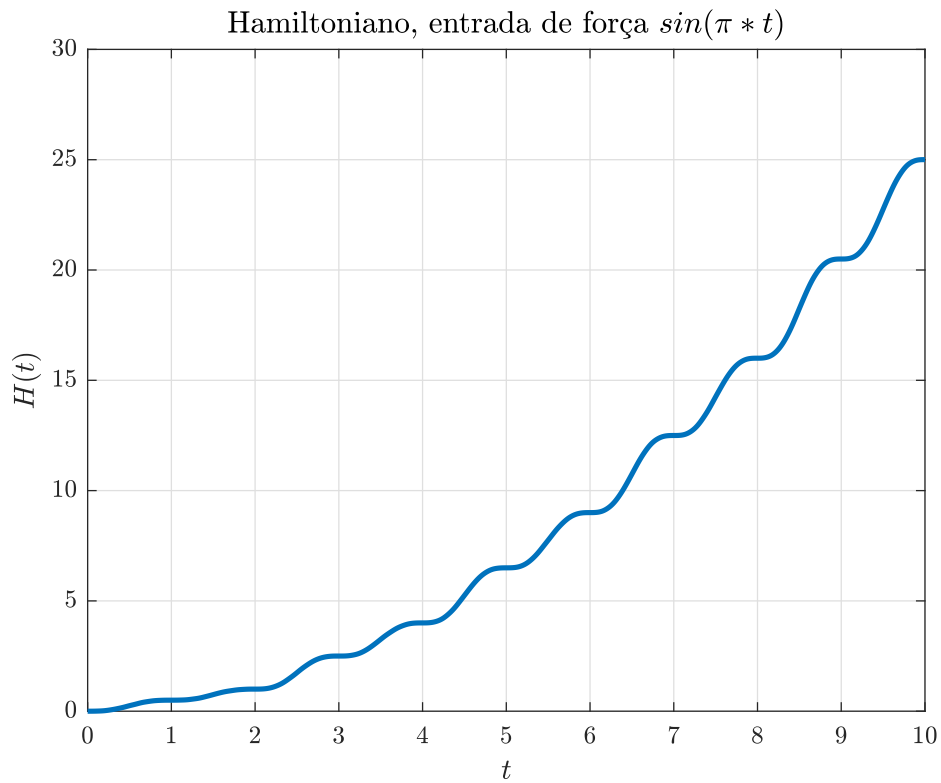
clear;
% c1 = c2 = c
c = 1;
% phi1 = phi2
L = 1;
n = 8;
xref = 0:L/(n-1):L;
% yref = ;
phi = [];
syms z
for i = 1:length(xref)
    p = 1;
    for j = 1:length(xref)
        if j~=i
            aux = (z-xref(j))/(xref(i)-xref(j));
            p = p*aux;
        end
    end
    phi = [phi;p];
end
dphi = diff(phi,z);
M = double(int(phi*transpose(phi),0,L));
D = double(int(dphi*transpose(phi),0,L));
J = [zeros(length(D)) -D;D' zeros(length(D))];
Q = blkdiag(c.*inv(M),c.*inv(M));
B = [subs(phi,L) -subs(phi,0);zeros(length(phi),1) zeros(length(phi),1)];
x = sym('x', [2*n;1]);
h = sym('h', [1;1]);
t = sym('t', [1;1]);
omega = pi;
%çõ Condições de contorno: onda excitada em uma extremidad
% e e nula na
% outra!!!
eq = [J*Q*x + B*[sin(omega*t);0];[sin(omega*t) 0]*B'*Q*x];
di = matlabFunction(eq, 'Vars', {t, [x;h]});
x0 = zeros(2*n,1);
h0 = 0;
[T,Z] = ode45(@(t,X) di(t,X),[0,10],[x0;h0]);
figure;

```

```

plot(T,Z(:,2*n+1),'linewidth',2);
xlabel('$t$', 'Interpreter','latex')
ylabel('$H(t)$', 'Interpreter','latex')
set(gca,'TickLabelInterpreter','latex');
title('Hamiltoniano, entrada de for\c{c}a $sin(\pi*t)$', 'FontSize', 12, ...
      'Interpreter','latex')
grid on;

```

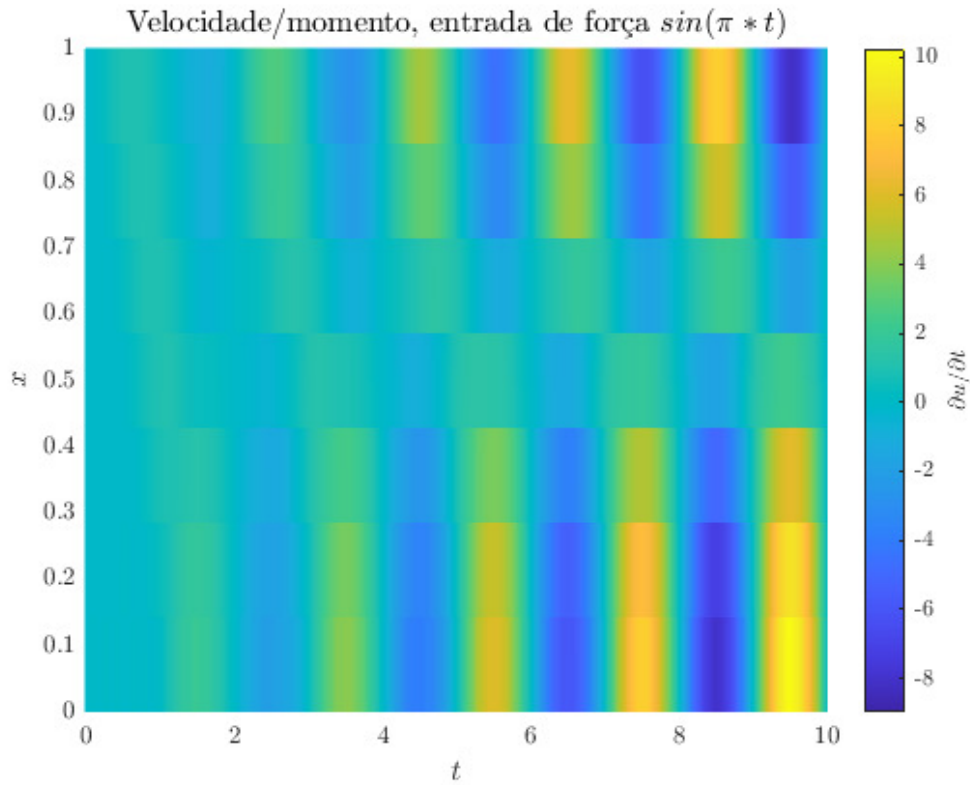


```

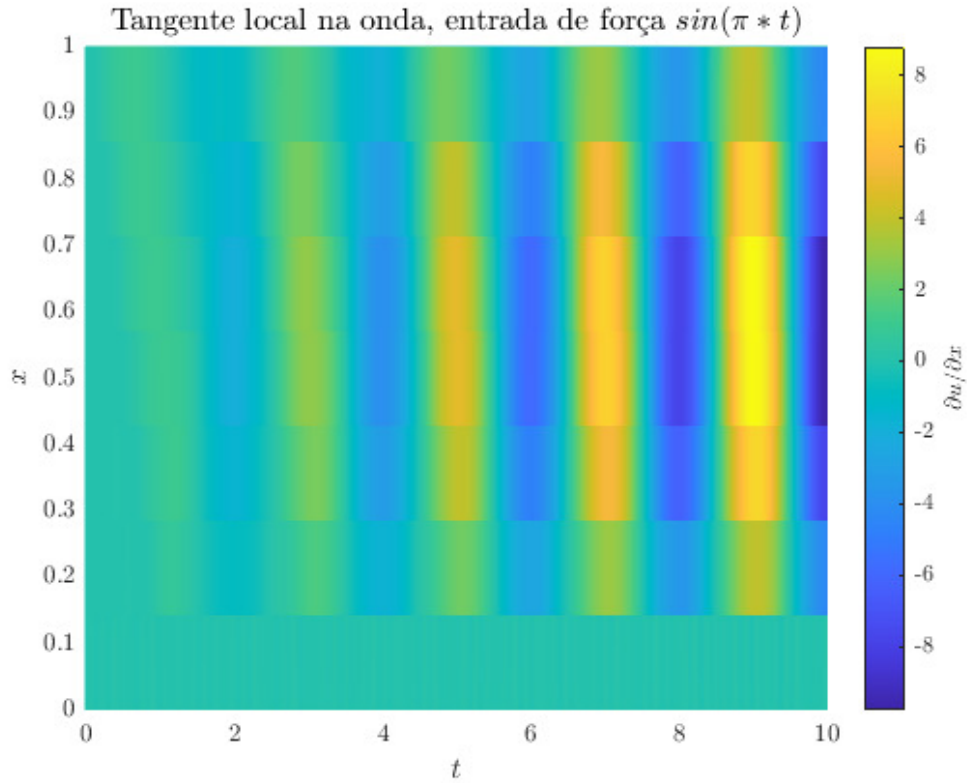
a1 = transpose(subs(phi,0:L/(n-1):L))*inv(M)*Z(:,1:n)';
a2 = transpose(subs(phi,0:L/(n-1):L))*inv(M)*Z(:,n+1:2*n)';

figure;
surf(T,0:L/(n-1):L,double(a1),'EdgeColor','flat')
h = colorbar;
ylabel(h, '$\partial u/\partial t$', 'Interpreter','latex');
view(2);
xlabel('$t$', 'Interpreter','latex')
% ylabel('$y$', 'Interpreter','latex')
ylabel('$x$', 'Interpreter','latex')
title('Velocidade/momento, entrada de for\c{c}a $sin(\pi*t)$', 'FontSize', 12, ...
      'Interpreter','latex')
set(gca,'TickLabelInterpreter','latex');
set(h,'TickLabelInterpreter','latex');

```

```
figure;
surf(T,0:L/(n-1):L,double(a2),'EdgeColor','flat')
h = colorbar;
ylabel(h, '$\partial u/\partial x$', 'Interpreter','latex');
view(2);
xlabel('$t$', 'Interpreter','latex')
% ylabel('$y$', 'Interpreter','latex')
ylabel('$x$', 'Interpreter','latex')
set(gca,'TickLabelInterpreter','latex');
title('Tangente local na onda, entrada de for\c{c}a $\sin(\pi*t)$', 'FontSize', 12, ...
      'Interpreter','latex')
set(h,'TickLabelInterpreter','latex');
```



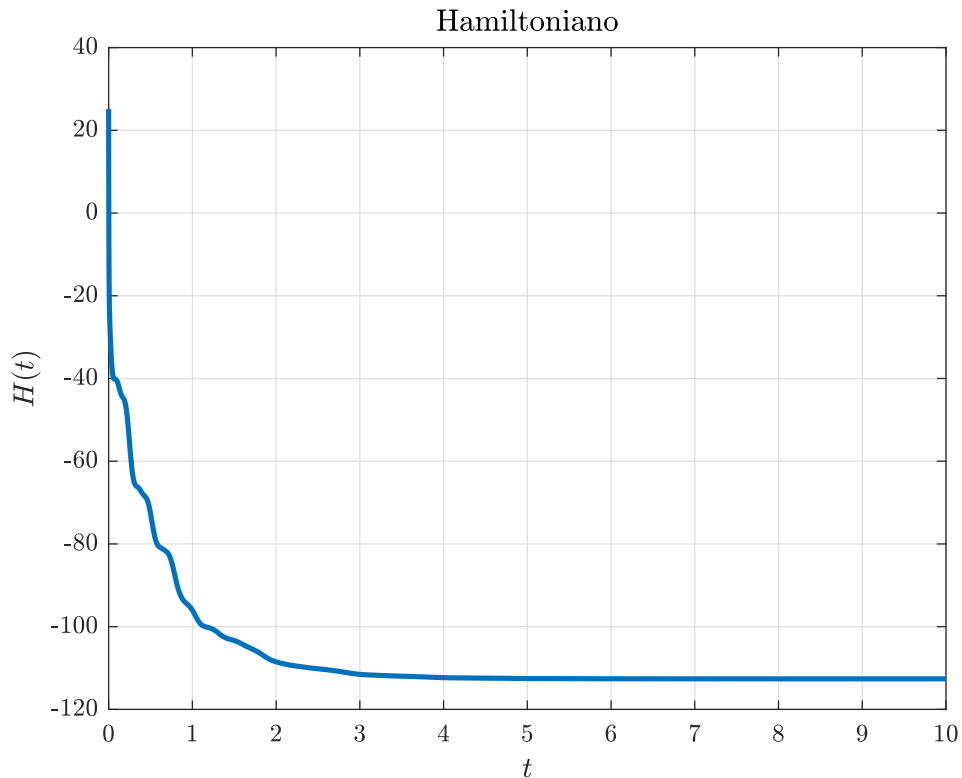
2.3 Damping injection

```
clear;
% c1 = c2 = c
c = 1;
% phi1 = phi2
L = 1;
n = 8;
xref = 0:L/(n-1):L;
% yref = ;
phi = [];
syms z
for i = 1:length(xref)
    p = 1;
    for j = 1:length(xref)
        if j ~= i
            aux = (z - xref(j)) / (xref(i) - xref(j));
            p = p * aux;
        end
    end
    phi = [phi; p];
end
dphi = diff(phi, z);
M = double(int(phi * transpose(phi), 0, L));
D = double(int(dphi * transpose(phi), 0, L));
J = [zeros(length(D)) -D; D' zeros(length(D))];
```

```

Q = blkdiag(c.*inv(M),c.*inv(M));
B = [subs(phi,L) -subs(phi,0);zeros(length(phi),1) zeros(length(phi),1)];
x = sym('x',[2*n;1]);
h = sym('h',[1;1]);
t = sym('t',[1;1]);
omega = pi;
%çõ Condições de contorno: regulador e condições iniciais áunitrias
% Vamos ver como ele sai de um impulso!!
% outra!!!
k = pi;
y = B'*Q*x;
u = -k*y;
eq = [J*Q*x + B*u;u'*y];
di = matlabFunction(eq, 'Vars', {t, [x;h]});
x0 = ones(2*n,1);
h0 = n*k;
[T,Z] = ode45(@(t,X) di(t,X),[0,10],[x0;h0]);
figure;
plot(T,Z(:,2*n+1),'linewidth',2);
title('Hamiltoniano','FontSize',12,'Interpreter','latex');
xlabel('$t$','Interpreter','latex');
ylabel('$H(t)$','Interpreter','latex');
set(gca,'TickLabelInterpreter','latex');
grid on;

```



```

a1 = transpose(subs(phi,0:L/(n-1):L))*inv(M)*Z(:,1:n)';

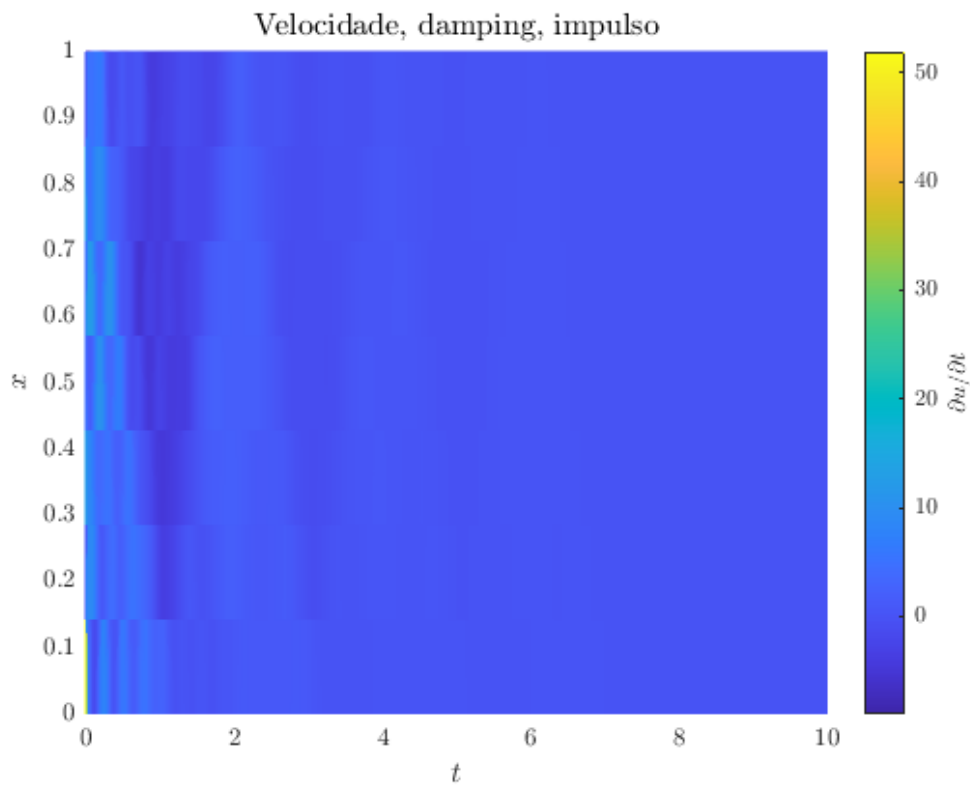
```

```

a2 = transpose(subs(phi,0:L/(n-1):L))*inv(M)*Z(:,n+1:2*n)';

figure;
surf(T,0:L/(n-1):L,double(a1),'EdgeColor','flat')
h = colorbar;
ylabel(h, '$\partial u/\partial t$', 'Interpreter','latex');
view(2);
xlabel('$t$', 'Interpreter','latex')
% ylabel('$y$', 'Interpreter','latex')
ylabel('$x$', 'Interpreter','latex')
title('Velocidade, damping, impulso', 'FontSize', 12, 'Interpreter','latex')
set(gca,'TickLabelInterpreter','latex');
set(h,'TickLabelInterpreter','latex');

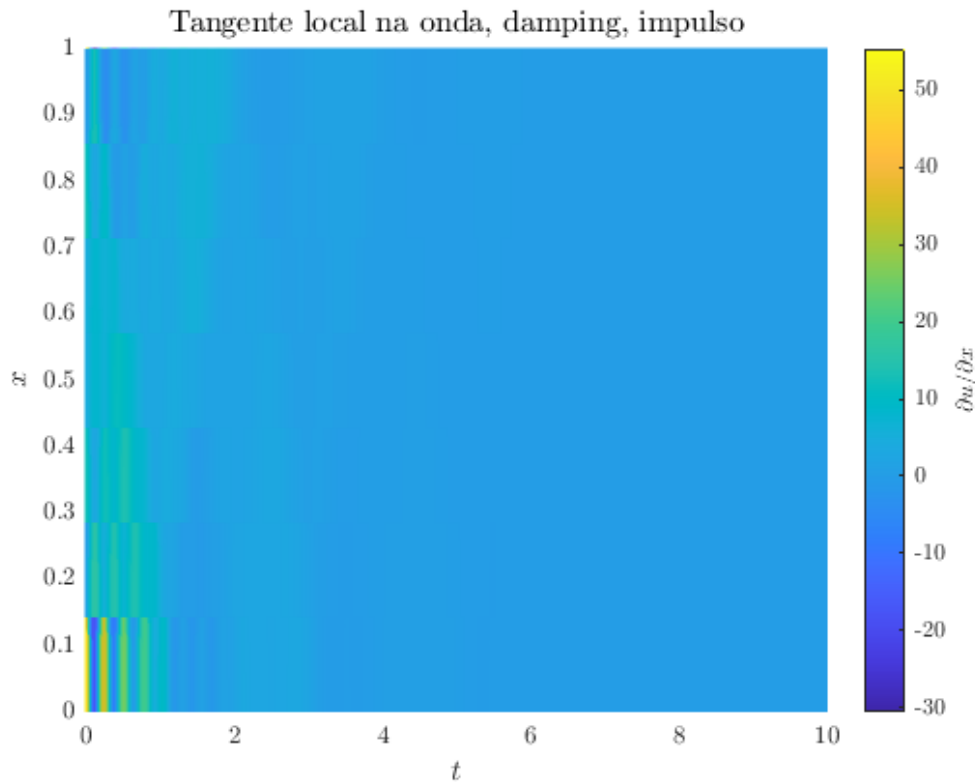
```



```

figure;
surf(T,0:L/(n-1):L,double(a2),'EdgeColor','flat')
h = colorbar;
ylabel(h, '$\partial u/\partial x$', 'Interpreter','latex');
view(2);
xlabel('$t$', 'Interpreter','latex')
% ylabel('$y$', 'Interpreter','latex')
ylabel('$x$', 'Interpreter','latex')
title('Tangente local na onda, damping, impulso', 'FontSize', 12, 'Interpreter','latex')
set(gca,'TickLabelInterpreter','latex');
set(h,'TickLabelInterpreter','latex');

```



Exercício 3

Escolhendo formular o problema com restrições na saída. Para o nosso teste, vamos adotar:

$$y = \begin{bmatrix} e_1(L, t) \\ -e_1(0, t) \end{bmatrix} = \begin{bmatrix} e_1(L, t) \\ 0 \end{bmatrix},$$

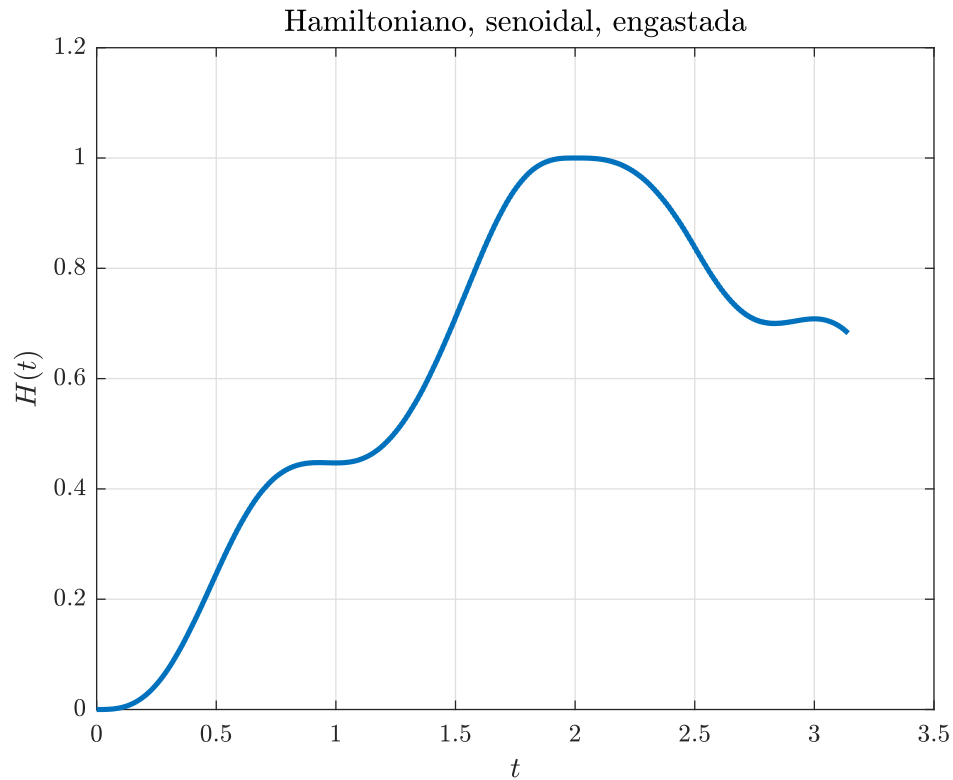
```
clear;
% c1 = c2 = c
c = 1;
% phi1 = phi2
L = 1;
n = 31;
xref = 0:L/(n-1):L;
% yref = ;
phi = [];
syms z
for i = 1:length(xref)
    p = 1;
    for j = 1:length(xref)
        if j~=i
            aux = (z-xref(j))/(xref(i)-xref(j));
            p = p*aux;
        end
    end
    phi = [phi;p];
end
```

```

dphi = diff(phi,z);
M = double(int(phi*transpose(phi),0,L));
D = double(int(dphi*transpose(phi),0,L));
J = [zeros(length(D)) -D;D' zeros(length(D))];
Q = blkdiag(c.*inv(M),c.*inv(M));
B = [subs(phi,L) -subs(phi,0);zeros(length(phi),1) zeros(length(phi),1)];
x = sym('x',[2*n;1]);
h = sym('h',[1;1]);
t = sym('t',[1;1]);
omega = pi;
%í Sada nula na origem, entrada senoidal na extremidade
omega = pi;
y = B'*Q*x;
y(2) = 0; % e1 = c1 alpha1 -> alpha1 -> x(1:n) ctt de valor inicial zero
eq = [0;J(2:2*n,2:2*n)*Q(2:2*n,2:2*n)*x(2:2*n) + ...
      B(2:end,:) * [sin(omega*t);0];[sin(omega*t) 0]*y];
di = matlabFunction(eq, 'Vars', {t, [x;h]});
x0 = zeros(2*n,1);
h0 = 0;
[T,Z] = ode45(@(t,X) di(t,X),[0,pi],[x0;h0]);

figure;
plot(T,Z(:,2*n+1),'linewidth',2);
xlabel('$t$', 'Interpreter','latex')
ylabel('$H(t)$', 'Interpreter','latex')
set(gca,'TickLabelInterpreter','latex');
title('Hamiltoniano, senoidal, engastada', 'FontSize', 12, 'Interpreter','latex')
grid on;

```

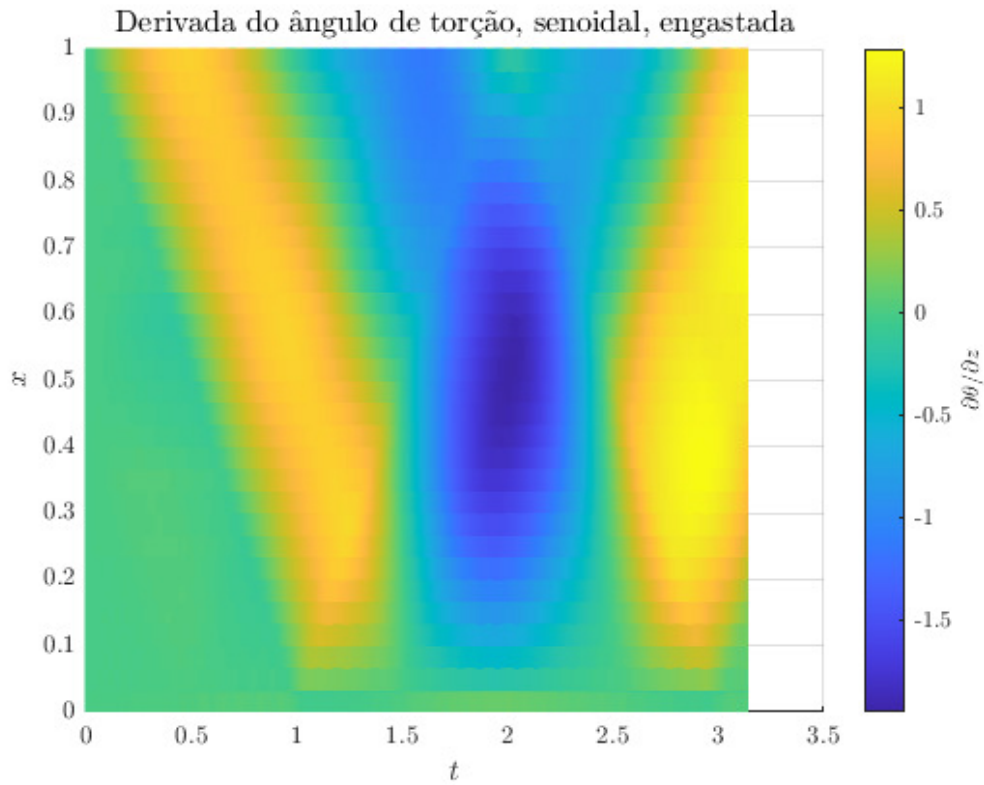


```

a1 = transpose(subs(phi,0:L/(n-1):L))*inv(M)*Z(:,1:n)';
a2 = transpose(subs(phi,0:L/(n-1):L))*inv(M)*Z(:,n+1:2*n)';

figure;
surf(T,0:L/(n-1):L,double(a1),'EdgeColor','flat')
h = colorbar;
ylabel(h, '$\partial \theta / \partial z$', 'Interpreter','latex');
view(2);
xlabel('$t$', 'Interpreter','latex')
% ylabel('$y$', 'Interpreter','latex')
ylabel('$x$', 'Interpreter','latex')
title('Derivada do \hat{a}ngulo de tor\c{c}\~{a}o, senoidal, engastada', 'FontSize', ...
      12, 'Interpreter','latex')
set(gca,'TickLabelInterpreter','latex');
set(h,'TickLabelInterpreter','latex');

```



```
figure;
surf(T,0:L/(n-1):L,double(a2),'EdgeColor','flat')
h = colorbar;
ylabel(h, '$\partial \theta / \partial z$', 'Interpreter','latex');
view(2);
xlabel('$t$', 'Interpreter','latex')
% ylabel('$y$', 'Interpreter','latex')
ylabel('$x$', 'Interpreter','latex')
set(gca,'TickLabelInterpreter','latex');
title('Momento angular de tor\c{c}\~{a}o', 'FontSize', 12, 'Interpreter','latex')
set(h,'TickLabelInterpreter','latex');
```